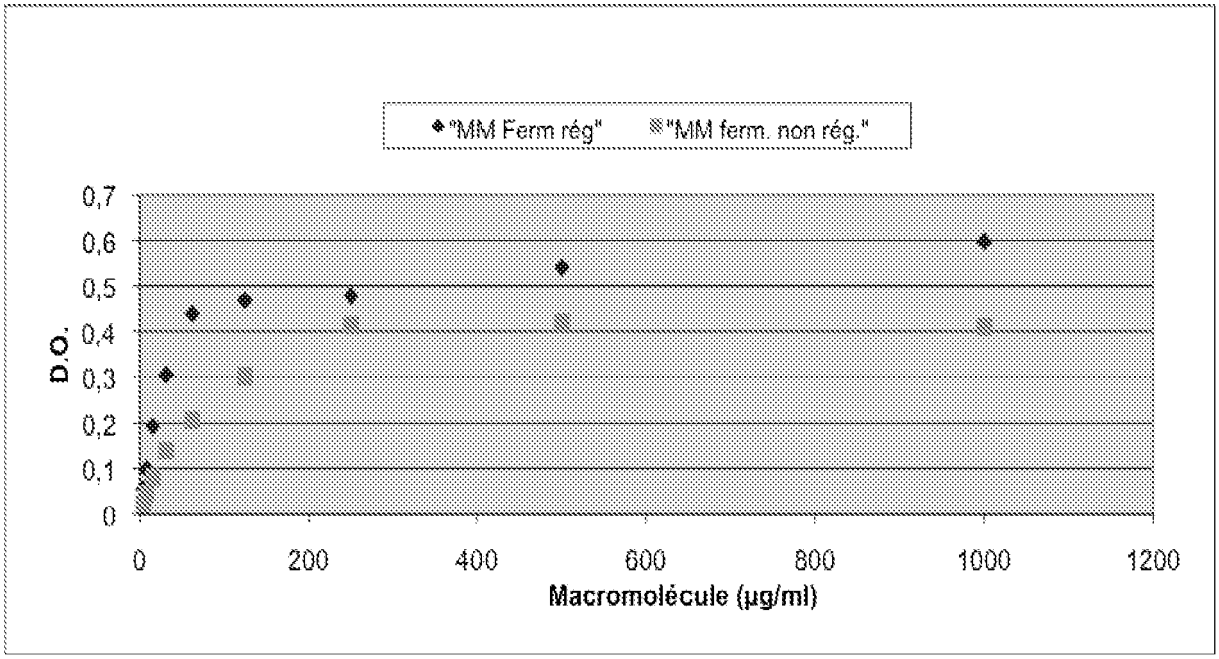


Figure 1

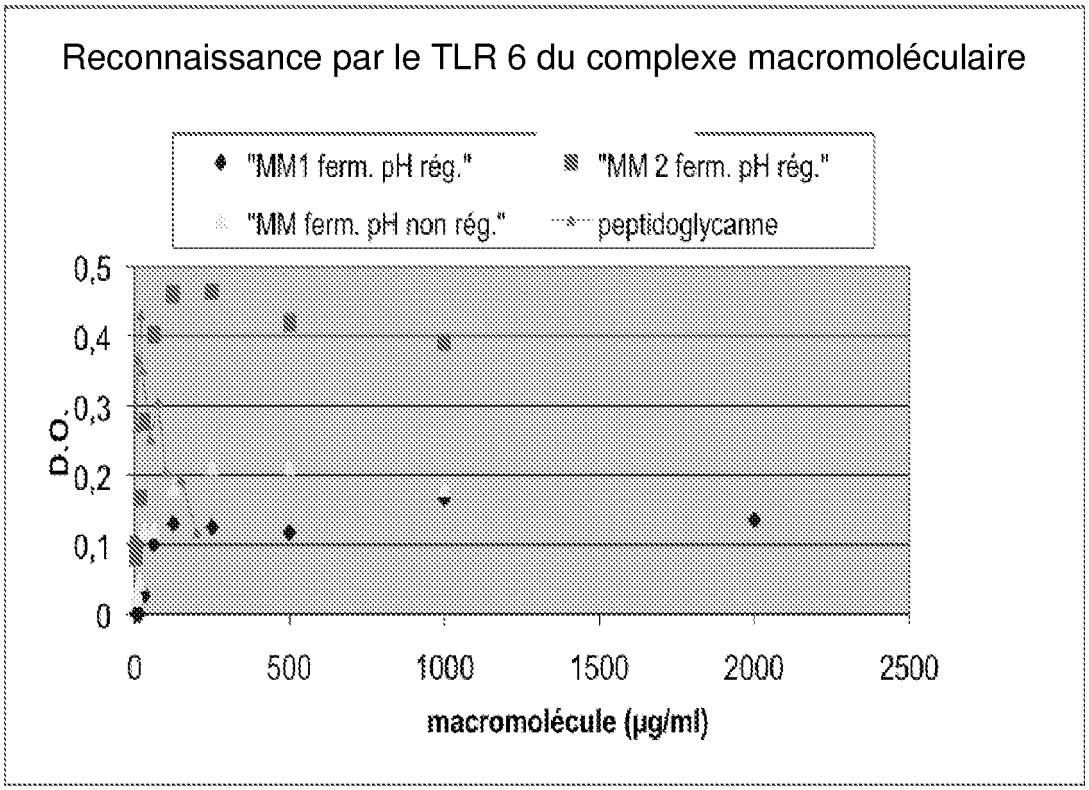


Figure 2

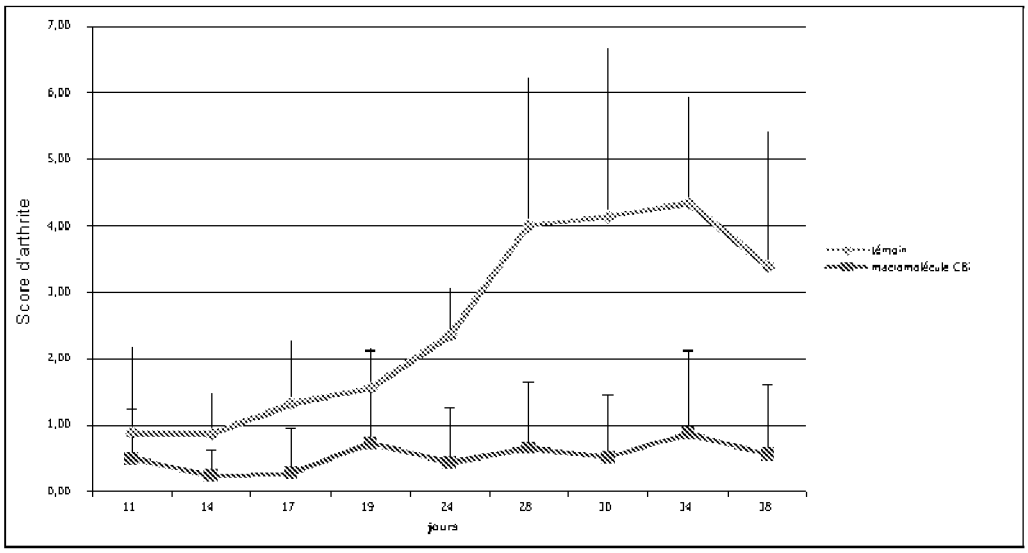


Figure 3

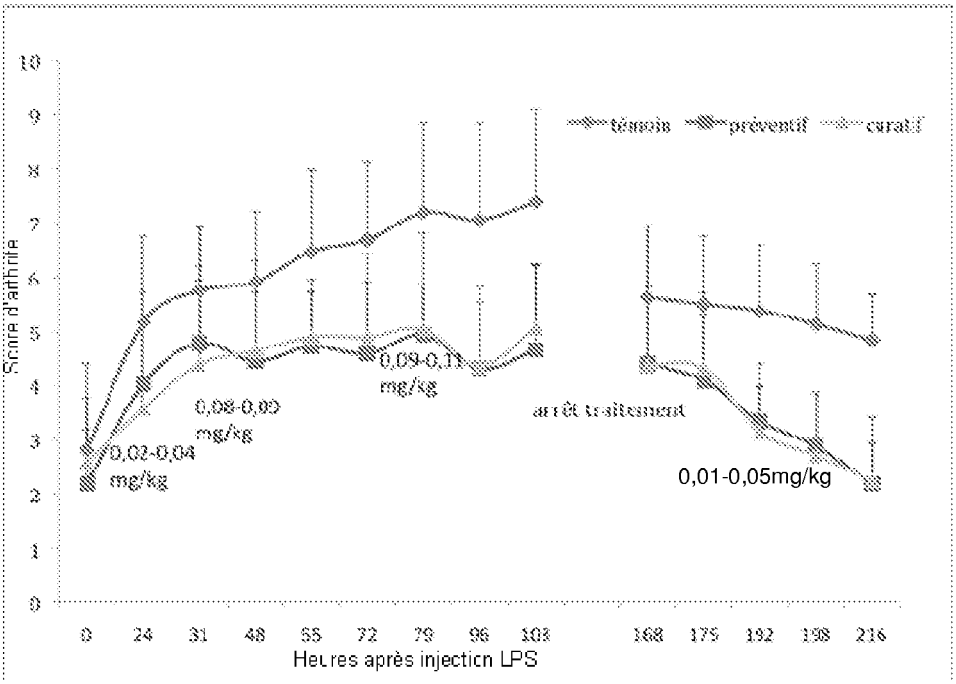


Figure 4

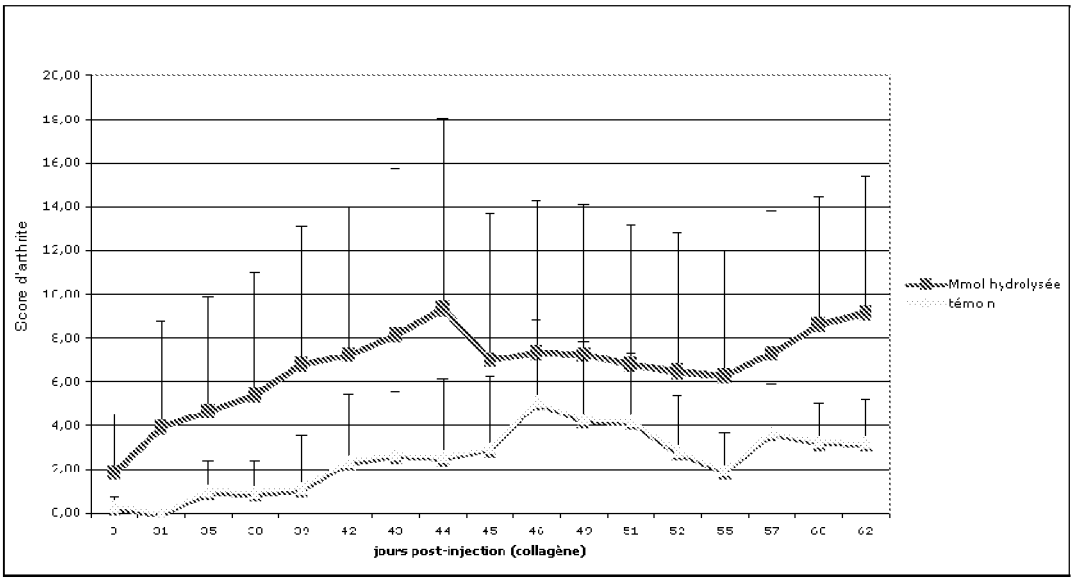

Score d'arthrite
jours post-injection (collagène)
Mmol hydrolysée
témoin

Figure 5

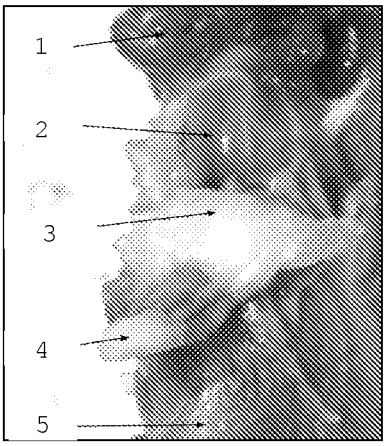


Figure 6a

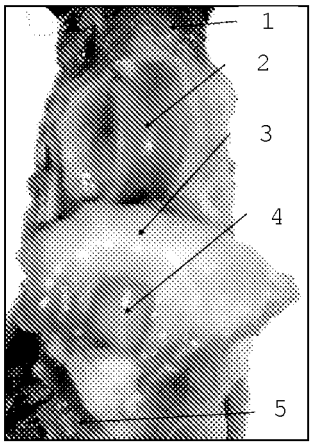


Figure 6b

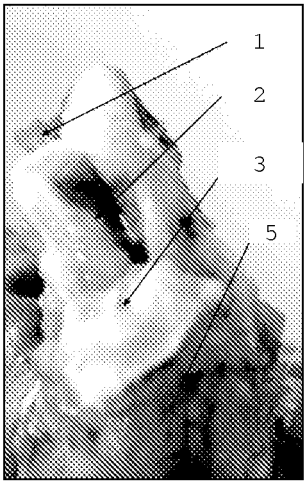


Figure 7a

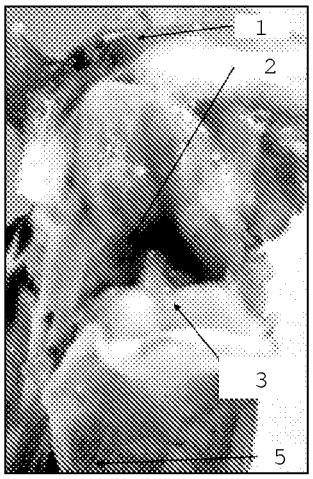


Figure 7b

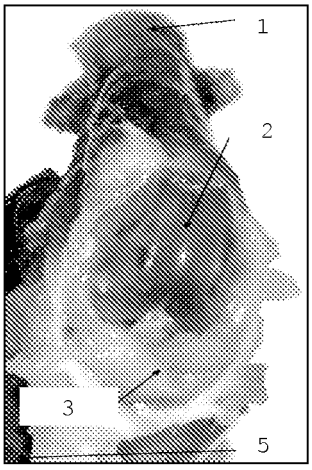


Figure 7c

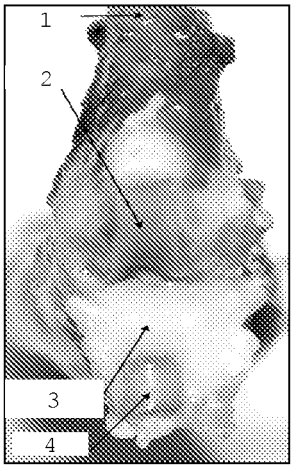


Figure 7d

Gènes	Nomenclature	FA vs FN* FC	FAt vs FA** FC	fonction
Carboxypeptidase B1 (tissue) (Cpb1), mRNA [NM_029706]	**Cpb1**	109,50	-252,30	**Métabolisme** dégradation des protéines
Carboxypeptidase A1 (Cpa1), mRNA [NM_025350]	**Cpa1**	87,14	-217,03	dégradation des protéines
Carboxypeptidase A2, pancreatic (Cpa2), mRNA [NM_001024698]	**Cpa2**	6,92	-6,60	dégradation des protéines
Mus musculus RIKEN cDNA 2210010C04 gene , mRNA [NM_023333]	**2210010C04Rik**	100,41	-133,44	dégradation des protéines (activité trypsinogène-like)
protease, serine, 3 (Prss3), mRNA [NM_011645]	**Prss3**	16,55	-17,25	dégradation des protéines (réponse inflammatoire)
protease, serine, 3 (Prss3), mRNA [NM_011645]	**Prss3**	6,58	-8,46	dégradation des protéines (réponse inflammatoire)
peptidase, serine	1810049H19Rik	8,73	-17,17	hydrolyse des peptides
Chymotrypsin C (caldecrin) (Ctrc), mRNA [NM_001033875]	**Ctrc**	15,54	-30,45	dégradation des protéines
protease, serine	**1810049H19Rik**	8,73	-17,17	dégradation des protéines
protease, serine, 2 (Prss2), mRNA [NM_009430]	**Prss2**	8,34	-12,99	dégradation des protéines
carboxyl ester lipase (Cel), mRNA [NM_009885]	**Cel**	10,09	-12,20	dégradation des lipides
pancreatic lipase related protein 1 (Pnliprp1), mRNA [NM_018874]	**Pnliprp1**	108,58	-177,37	dégradation des lipides
pancreatic lipase (Pnlip), mRNA [NM_026925]	**Pnlip**	95,10	-138,79	dégradation des lipides
PANCREATIC TRIGLYCERIDE LIPASE (FRAGMENT) homolog [Rattus norvegicus],	**Pnlip**	19,12	-19,56	dégradation des lipides
amylase 1, salivary (Amy1), mRNA [NM_007446]	**Amy1**	88,72	-125,11	hydrolyse des sucres
amylase 1, salivary (Amy1), mRNA [NM_007446]	**Amy1**	29,38	-20,27	hydrolyse des sucres
				Réponse immunitaire, inflammation
elastase 2A (Ela2a), mRNA [NM_007919]	RP23-395H4.4	24,725	-23,922726	Maladies inflammatoires (emphyseme, sarcoidose)
Riken clone:C230027O20 product:mitogen activated protein kinase 10, [AK082242]	Mapk10	22,987818	-22,56085	réponse immunitaire: présentation de l'Ag
deleted in malignant brain tumors 1 (Dmbt1), mRNA [NM_007769]	Dmbt1	3,7283275	-4,3291807	réponse immunitaire: présentation de l'Ag, récepteur bactéries G+/-
PREDICTED: Mus musculus similar to keratin associated protein 9-1 (LOC432600), mRNA [XM_484079]	OTTMUSG00000002191	22,03008	-22,350348	immune response? Keratin protein kinase
ribonuclease, RNase A family, 1 (pancreatic) (Rnase1), mRNA [NM_011271]	Rnase1	14,073265	-16,946436	apoptose, maturation des cellules dendritiques dérivées des monocytes
myeloblastosis oncogene-like 1 (Mybl1), mRNA [NM_008651]	Mybl1	9,542029	-13,389937	division cellulaire (CDC25B, MYBL1), hyperplasie de la rate, expansion des lymphocytes B
clone:A830089B11 product:unclassifiable, full insert sequence [AK139458]	AK139458	15,529197	-15,187141	ressemblant aux Ig
FK506 binding protein 5 (Fkbp5), mRNA [NM_010220]	Fkbp5	-5,7101316	5,996187	récepteurs aux glucocorticoides, liaison à la dexamethasone

* comparaison des expressions des gènes des cellules dendritiques de souris associées à une flore de patient arthritique vs des souris associée à la flore de volontaire sain.
** comparaison des expressions de gènes de cellules dendritiques de rate de souris associée à une flore de patient arthritique traitées pendant 15 jours par 0,2mg/l de molécules vs des souris non traitées.

Tableau 6 : Gènes dont l'expression est restaurée aux valeurs d'expression chez les souris associées à une flore humaine

*comparaison des expressions des gènes des cellules dendritiques de souris associées à une flore de patient arthritique vs des souris associée à la flore de volontaire sain.

** comparaison des expressions de gènes de cellules dendritiques de rate de souris associée à une flore de patient arthritique traitées pendant 15 jours par 0,2mg/l de molécules par rapport à des souris non traitées.

Figure 8

Gènes	Nomenclature	FAt vs FA** FC	fonction
			Métabolisme
Colipase, pancreatic (Clps), mRNA [NM_025469]	Clps	-49,773	métabolisme des lipides
Amylase 2, pancreatic (Amy2), mRNA [NM_009669]	Amy2	-696,162	métabolisme des sucres
Extra cellular link domain-containing 1 (Xlkd1), mRNA [NM_053247]	Xlkd1		lymphatic vessel endothelial hyaluronan receptor 1 (LYVE1): internalisation de l'acide hyaluronique,catabolism of
		-3,015	glycosaminoglycan
Galactose-3-O-sulfotransferase 2 (Gal3st2), mRNA [NM_199366]	Gal3st2	-3,021	sulfatation Gal en position C3 (mucin)
			Immune response/Inflammation
10 days neonate cerebellum cDNA, RIKEN full-length enriched library, clone:B930094O12	AK081163	**-11,095**	prostaglandine reductase 2: mode d'action de l'indométhacine par liaison à PGTR2 — diminution=baisse del'inflammation
Cell division cycle 25 homolog B (S. pombe) (Cdc25b), mRNA [NM_023117]	Cdc25b	**-4,500**	initiation of mitosis — entée en division cellulaire (en association avec MYBL1)
Endothelin receptor type B (Ednrb), mRNA [NM_007904]	Ednrb	-5,601	excrétion de protéines et de sodium,quantity of Ca2+ (en association avec PROK2, PRSS3 (includes EG:5646) endothelial dysfunction endocrine system disorder (en association avec AMY2A, CEL, CTRC, PNLIP, PROK2)

Tableau 7: Gènes dont l'expression est modifiée uniquement sous traitement

Figure 9